

О ВЛИЯНИИ ПРОЦЕССОВ ПЕРЕБРОСА НА РЕЛАКСАЦИЮ ГОРЯЧИХ НОСИТЕЛЕЙ

С. И. Захаров, Ю. Д. Фивейский

Рассмотрены процессы релаксации неравновесных носителей в диэлектриках с энергией, существенно превышающей тепловую. Получено общее выражение для частоты электрон-фононных соударений τ^{-1} с учетом как нормальных процессов, так и процессов переброса. Показано, что τ^{-1} как функция квазимпульса носителей \mathbf{p} имеет особенности при $|\mathbf{p}| = (n - 1/2)q_m$ (q_m — полуширина зоны Бриллюэна, $n=1, 2, 3, \dots$), соответствующие последовательному включению с ростом $|\mathbf{p}|$ в рассеяние носителей процессов переброса на векторы обратной решетки $|\mathbf{Q}| = 2q_m n$. Исследовано асимптотическое поведение функции $\tau^{-1}(\mathbf{p})$. Приведены соображения относительно наличия у времени релаксации носителей в сверхрешетках подобных исследованным особенностей, но связанных уже с периодом сверхрешетки.

Вопрос о релаксации носителей с энергией ϵ в несколько электрон-вольт возник в результате развития исследований по воздействию импульсного лазерного излучения на прозрачные диэлектрики. Как было установлено [1, 2], разрушающее воздействие моноимпульса лазера на прозрачные диэлектрики связано с возможностью возбуждения носителей, способных ионизовать ударом валентную зону диэлектрика, поскольку их появление при определенных условиях может приводить к образованию электронной лавины с последующим пробоем материала.

Работы, посвященные теоретическому исследованию этого явления, свелись по этой причине к рассмотрению динамики возбуждения излучением лазера и релаксации горячих носителей в диэлектриках (см., например, [3]). Полученные в этих работах результаты сыграли свою роль в понимании физики процесса взаимодействия интенсивного электромагнитного излучения с прозрачными кристаллами. Однако из поля зрения перечисленных исследований выпали фундаментальные вопросы, связанные с неадекватностью традиционного для физики твердого тела описания носителей и их взаимодействия с фононами при разогреве носителей вплоть до энергий порядка ширины запрещенной зоны ϵ_g . В связи с бурным развитием исследований в области лазерного отжига и лазерного легирования материалов, сверхскоростной лазерной спектроскопии и других процессов, в которых излучение лазера является причиной появления неравновесных носителей с энергией, существенно превышающей тепловую, актуальность этих вопросов за последнее время возросла.

Итак, прежде всего при таких энергиях неприменимы справедливые в предельном случае $\epsilon \ll \epsilon_g$ метод деформационного потенциала при рассмотрении взаимодействия носителей с акустическими фононами и приближение сплошной среды, которое лежит в основе описания взаимодействия носителей с полярными оптическими фононами. Далее для рассматриваемых энергий $\epsilon \gg T$ возможны акты рассеяния носителей с большой передачей импульса, при которой (т. е. в области ионных остовов) несправедливо приближение линейного экранирования. Нельзя поэтому воспользоваться методом псевдопотенциала, так же как и известной формулой Бардина [4].

Вопрос осложняется тем, что вследствие существенного роста в процессе воздействия моноимпульса лазера концентрации носителей n (вплоть до значений $n \sim 10^{19} \div 10^{20} \text{ см}^{-3}$) в результате экранирования сечение взаимодействия носителей с решеткой должно заметно меняться. Кроме того, может не выполняться условие справедливости приближения эффективной массы, требующее малости возмущения по сравнению с характерным масштабом энергии на зонной диаграмме, т. е. с \mathcal{E}_g . Так, например, это условие не выполняется, если $\omega_p \geq \mathcal{E}_g$ (ω_p — плазменная частота), что соответствует для диэлектриков концентрациям свободных носителей $n \geq 10^{18} \text{ см}^{-3}$ (полагаем $\hbar=1$).

Наконец, для широкозонных диэлектриков $1 \text{ эВ} < \mathcal{E}_g \leq 10 \text{ эВ}$. Значения квазиимпульса носителей p с энергией $\epsilon \sim 1 \div 10 \text{ эВ}$ заведомо могут быть больше $q_m = \pi/a$ (a — постоянная решетки). В схеме расширенных зон для носителей захватываются вторая и, возможно, более высокие зоны Бриллюэна. Тем самым становится очевидной несостоятельность неявно сделанного в более ранних работах предположения о том, что при всех энергиях носителей вплоть до \mathcal{E}_g за рассеяние носителей решеткой ответственны только нормальные процессы. Действительно, из элементарного рассмотрения ясно, что в простой кубической решетке, например уже при $p > q_m/2$, часть актов рассеяния носителей может осуществляться только как процессы переброса, причем с ростом p эта часть начинает доминировать. Если традиционно постулировать квадратичный закон дисперсии носителей $\epsilon(p) = p^2/2m$ (m — эффективная масса),¹ то $p < q_m/2$ соответствует нижняя четверть энергетической ширины первой зоны Бриллюэна $\epsilon \leq q_m^2/8m$. Для типичных диэлектрических кристаллов $q_m^2/8m$ составляет всего 0.25—0.5 эВ.

Отсюда следует, что процессы переброса обуславливают рассеяние носителей решеткой в большей части рассматриваемого диапазона энергий, в том числе и приходящегося на первую зону Бриллюэна. Их вклад в релаксацию носителей (и тем самым влияние на динамику развития электронной лавины) нельзя априори игнорировать.

Попытки учесть влияние процессов переброса на релаксацию носителей применительно к теории развития электронной лавины в широкозонных диэлектриках под действием моноимпульса лазера предпринимались в работах [5-7]. Работа [5], однако, относилась к оптическим полярным фононам и базировалась на некорректном (см. выше) в рассматриваемой области энергий матричном элементе электрон-фононного взаимодействия. Две другие работы представляют собой, помимо прочего, трудноанализируемый расчет на ЭВМ задачи, не избавленной от ряда других весьма приближенных предположений. О проблематичной же трактовке матричного элемента электрон-фононного взаимодействия, принятой в этих работах, речь пойдет в разделе 2.

Рассмотрим поэтому вопрос о релаксации горячих носителей, следуя [8], еще раз с наиболее доступной степенью наглядности.

Время релаксации носителей, скорость набора и потери носителями энергии (в том числе и в поле внешней электромагнитной волны) при взаимодействии с решеткой определяются фактически для чистого кристалла одной величиной — частотой электрон-фононных соударений τ^{-1} . Будем исследовать поэтому пока именно величину τ^{-1} .

В разделе 1 без конкретизации вида матричного элемента взаимодействия получено общее выражение для τ^{-1} и сделаны общие заключения о виде зависимости частоты электрон-фононных соударений от передачи импульса и об асимптотическом поведении $\tau^{-1}(p)$ при больших p . В разделе 2 обсуждается корректность модели матричного элемента электрон-фононного взаимодействия при немалой передаче импульса. В разделе 3 найдены конкретное выражение для τ^{-1} и его предельные формы в прибли-

¹ Анализ реального закона дисперсии не вносит физически новых результатов и целесообразен лишь при исследовании конкретных материалов.

жениях низких и высоких температур решетки в случае рассеяния носителей на акустических фононах. Здесь же исследован предельный переход полученных выражений в известные выражения для τ^{-1} при малой передаче импульса. В заключение рассматривается область энергий, представляющая интерес при исследовании динамики разогрева носителей, и высказаны замечания об анизотропии рассеяния и вкладе в рассеяние поперечно-поляризованных фононов в этой области. Там же высказываются аргументы в пользу наличия у частоты электрон-фононных соударений в сверхрешетках особенностей, подобных связанным с процессами переброса, однако при существенно более низких энергиях.

1. Общее выражение для частоты электрон-фононных соударений

Общее выражение для τ^{-1} распадается на сумму двух слагаемых, одно из которых обусловлено нормальными процессами τ_N^{-1} , а другое — процессами переброса τ_U^{-1} [9]. При этом

$$\tau_N^{-1}(\mathbf{p}) = 2\pi \sum_{\mathbf{q}, \alpha} B_{\alpha}(\mathbf{q}) [2N_{\alpha}(\mathbf{q}) + 1] \delta(\epsilon(\mathbf{p} + \mathbf{q}) - \epsilon(\mathbf{p})), \quad (1)$$

$$\tau_U^{-1}(\mathbf{p}) = 2\pi \sum_{\mathbf{Q} \neq 0} \sum_{\mathbf{q}, \alpha} B_{\alpha}(\mathbf{q} + \mathbf{Q}) [2N_{\alpha}(\mathbf{q}) + 1] \delta(\epsilon(\mathbf{p} + \mathbf{q} + \mathbf{Q}) - \epsilon(\mathbf{p})). \quad (2)$$

Здесь B — квадрат модуля матричного элемента электрон-фононного взаимодействия; $N(\mathbf{q})$ — фононная функция распределения; \mathbf{q} — квазиимпульс фонона; \mathbf{Q} — вектор обратной решетки; индекс α нумерует ветви фононного спектра.

При выводе (1) и (2) подразумевалось стандартное допущение об отсутствии вырождения носителей и изотропности их функции распределения. Учтено также, что в силу периодичности фононного спектра $N_{\alpha}(\mathbf{q} + \mathbf{Q}) \equiv N_{\alpha}(\mathbf{q})$ и энергия фононов предполагается малой по сравнению с энергией электронов.

Для нормальных процессов в случае изотропного кристалла (т. е. $N(\mathbf{q}) = N(q)$) из (1) получается хорошо известный результат

$$\tau_N^{-1}(p) = \frac{mV}{2\pi} \frac{1}{p} \sum_{\alpha} \int_0^{\min(2p, q_m)} dq q B_{\alpha}(q) (2N_{\alpha}(q) + 1), \quad (3)$$

где V — объем кристалла и суммирование по \mathbf{q} стандартным образом заменено на интегрирование. Символ $\min\{2p, q_m\}$ означает, что при $p < q_m/2$ интегрирование проводится до $2p$, а при $p \geq q_m/2$ до q_m , что как раз отражает тот факт, что при $p \geq q_m/2$ становятся возможными акты рассеяния с участием процессов переброса, доля которых в общем числе актов рассеяния тем выше, чем больше p превышает $q_m/2$.

Для процессов переброса в тех же предположениях получаем из (2) (в схеме расширенных зон для электронов), придерживаясь при проведении выкладок той же методики, что и в случае нормальных процессов,

$$\tau_U^{-1}(p) = \frac{mV}{2\pi} \sum_{\mathbf{Q} \neq 0} \sum_{\alpha} \frac{q_m^2}{Q^2} x B_{\alpha}(x) (2N_{\alpha}(x) + 1). \quad (4)$$

Здесь $x \equiv -2p \cos \theta_p$ (θ_p — угол между векторами \mathbf{p} и \mathbf{Q}) и должно быть выполнено условие

$$Q - q_m \leq x \leq Q + q_m, \quad (5)$$

которое возникает в результате интегрирования обеспечивающей сохранение энергии δ -функции. При выводе (4) использована также малость разности $1 - \sqrt{1 - q_m^2/Q^2}$, максимально возможное значение которой (соответствующее $Q = 2q_m$) составляет ~ 0.13 . Исходя из этого обстоятельства

полагалось также $\cos \theta \approx 1$, где θ — угол между векторами \mathbf{q} и $\mathbf{q} + \mathbf{Q}$. Это приближение будет использоваться и в дальнейшем.

Поскольку распределение носителей предполагается изотропным, усредним (4) по всем возможным ориентациям \mathbf{p} . Это приводит к выражению

$$\tau_U^{-1}(p) = \frac{mV}{2\pi} \frac{3}{2} \frac{1}{p} \sum_{\alpha} \sum_{Q \neq 0} \frac{q_m^2}{Q^2} \int dx x B_{\alpha}(x) \{2N_{\alpha}(x) + 1\},$$

где пределы интегрирования по x для каждого значения Q , так же как и разрешенные векторы Q , определяются условием (5).

Поскольку также в принятом приближении $\cos \theta \approx 1$, в процессе рассеяния могут принимать участие только векторы обратной решетки

$$Q = 2q_m \sqrt{n^2 + m^2 + l^2}$$

с $m=l=0$, т. е. $Q=2q_m n$, где $n=1, 2, 3, \dots$. Тогда, расписывая с учетом $Q=2q_m n$ условие (5), получим окончательно

$$\tau_U^{-1}(p) = \frac{3mV}{16\pi} \frac{1}{p} \sum_{\alpha} \sum_{n=1}^{n_m} \frac{1}{n^2} \int_{(2n-1)q_m}^{\min\{(2n+1)q_m, 2p\}} dx x B_{\alpha}(x) \{2N_{\alpha}(x) + 1\}, \quad (6)$$

$$n_m = \text{Int} \left(\frac{p}{q_m} + \frac{1}{2} \right)$$

($\text{Int}(z)$ — целая часть числа z), а символ $\min\{a, b\}$ опять обозначает выбор минимальной из величин a и b .

Не конкретизируя вид матричного элемента взаимодействия, уже можно сделать общие заключения о зависимости частоты электрон-фононных соударений $\tau^{-1}(p)$ от передачи импульса. Из (3) следует, что при $p > 2q_m$ τ_N^{-1} ведет себя как p^{-1} . Для $\tau_U^{-1}(p)$ зависимость, как видно из (6), сложнее и множитель p^{-1} будет определять поведение τ_U^{-1} лишь в асимптотическом пределе $p \gg q_m/2$. Такой же характер будет носить, следовательно, и зависимость

$$\tau^{-1}(p) = \tau_N^{-1}(p) + \tau_U^{-1}(p).$$

Другой важный вывод состоит в том, что, согласно (6), $\tau_U^{-1}(p)$, а с ним и $\tau^{-1}(p)$ будут иметь последовательность изломов при $2p = (2n-1)q_m$, каждый из которых соответствует открытию канала рассеяния с участием вектора обратной решетки $Q=2q_m n$.

2. Матричный элемент электрон-фононного взаимодействия при немалой передаче импульса

Описание электрон-фононного взаимодействия в рассматриваемом диапазоне энергий представляет собой основную трудность задачи. Отсутствие при больших передачах импульса в задаче малого параметра делает непригодными все известные в физике твердого тела приближенные методы рассмотрения систем с взаимодействием.

В этой ситуации авторы работы [7] ограничились простейшим из возможных подходов — теорией дифракции свободных электронов в борновском приближении. В таком подходе матричный элемент электрон-фононного взаимодействия содержит лишь Фурье-компоненты потенциала элементарной ячейки кристалла.

Корректная процедура требует [4] заменить эту Фурье-компоненту Фурье-образом псевдопотенциала. Однако, здесь она неприменима, так как не учитывает всех порядков теории возмущения по потенциалу рассеяния и ненадежна при больших значениях передачи импульса (поскольку приближение линейного экранирования несправедливо в области атом-

ного оства). Кроме того, такой подход игнорирует распределение электронной плотности внутри ячейки.

По указанным причинам использование авторами работы [7] в расчетах на ЭВМ вместо Фурье-компоненты потенциала величины, полученной из экспериментальных данных по рассеянию электронов на свободном ионе, с одной стороны, отнюдь, не более точно, чем неприменимая здесь теория дифракции свободных электронов. С другой же стороны, им приходится искусственным образом устранять расходимость матричного элемента, возникающую в принятом ими подходе при значениях передачи импульса, кратных вектору обратной решетки.

Подобного рода некорректность можно отметить и в работах [6], поскольку «константа электрон-фононного взаимодействия» принималась в них равной произведению амплитуды рассеяния на атоме на $\exp(-W)$, где W — фактор Дебая—Уоллера.

По перечисленным причинам использование в упомянутых работах для дальнейших расчетов ЭВМ (с учетом целого ряда дополнительных приближенных допущений типа перехода от суммирования по Q к интегрированию и т. п.) не гарантирует большей, чем ранее, истинности конечного результата.

Мы воспользуемся представлением матричного элемента в виде, полученном в [4] в результате анализа различных подходов при исследовании электрон-фононного взаимодействия

$$M_{q,\alpha}(\mathbf{p}, \mathbf{p}') = (2\rho V \omega_{q,\alpha})^{-1/2} \mathbf{e}_{q,\alpha}(\mathbf{p} - \mathbf{p}') G(|\mathbf{p} - \mathbf{p}'|), \quad (7)$$

где \mathbf{e} — вектор поляризации фонона, а величина G имеет размерность энергии.

Зависимость величины G от угла рассеяния дается в основном интерференционным множителем (интегралом перекрытия)

$$J(|\mathbf{p} - \mathbf{p}'|) \equiv \int \psi_{\mathbf{p}}^* \psi_{\mathbf{p}'} d^3r, \quad (8)$$

где $\psi_{\mathbf{p}}$ — функции Блоха, а интеграл берется по одной ячейке решетки.²

После выделения в G интерференционного множителя остается энергетический множитель $\mathcal{H}(|\mathbf{p} - \mathbf{p}'|)$, определяющий интенсивность взаимодействия. Он не является константой. Лишь в предельном случае $|\mathbf{p} - \mathbf{p}'| \rightarrow 0$ $\mathcal{H}(|\mathbf{p} - \mathbf{p}'|) \rightarrow \mathcal{E}_1$, где \mathcal{E}_1 — постоянная деформационного потенциала акустических фононов [10]. Однако, как показал анализ, функция $\mathcal{H}(|\mathbf{p} - \mathbf{p}'|)$ не имеет особенностей и ее зависимость от аргумента в рассматриваемой области его изменения имеет плавный вид. Поскольку же, согласно (3) и (4), $\mathcal{H}(|\mathbf{p} - \mathbf{p}'|)$ усредняется по $|\mathbf{p} - \mathbf{p}'|$ в конечных выражениях, в пределах необходимой точности можно в каждом члене суммы в (6) выносить этот множитель из-под интеграла, содержащего резкие кинематические члены.

Традиционный вид интерференционного множителя получается при замене функций Блоха плоскими волнами и при интегрировании по сфере Вигнера—Зейтца.

$$J(q) \equiv 3 \frac{\sin qr_0 - (qr_0) \cos(qr_0)}{(qr_0)^3}, \quad (9)$$

где r_0 — радиус сферы Вигнера—Зейтца [4]. Такой подход пригоден при рассмотрении нормальных процессов, когда величина передачи импульса меньше $2q_m$. Использование (9) при больших передачах импульса (или же вообще неучет (9)) приводит к нефизической расходимости матричного элемента при передаче импульса, кратной Q , которую авторам [7] при-

² Не исключается, однако, возможность, когда вместо (8) фигурируют выражения, обращающиеся в нуль для процессов рассеяния электронов на фононах с перебросом [4]. Этот случай, очевидно, не представляет для рассмотрения трудности, а потому и интереса.

лось устранять искусственно. Причина расходимости здесь — в замене при интегрировании в (8) элементарной ячейки решетки сферой Вигнера—Зейтца, что смещает положение корней интерференционного множителя. Откажемся поэтому от такой замены. Тогда для кубической решетки (с постоянной a)

$$J(q) = \frac{\sin q_x \frac{a}{2} \sin q_y \frac{a}{2} \sin q_z \frac{a}{2}}{q_x \frac{a}{2} q_y \frac{a}{2} q_z \frac{a}{2}} \quad (10)$$

и $J(q)$, как и должно быть, обращается в нуль при $q=Q$.

В принятом нами приближении ($\cos \theta \approx 1$) выражение (10) еще упрощается

$$J(q) \approx \frac{\sin\left(q \frac{a}{2}\right)}{\left(q \frac{a}{2}\right)} \quad (11)$$

Теперь, воспользовавшись (11), можно, исходя из (6), вычислить величину τ_U^{-1} для случая взаимодействия носителей с акустическими фононами, моделируемого выбранным выше матричным элементом (7).

3. Частота соударений носителей с акустическими фононами

В отличие от случая нормальных процессов в сумме по ветвям колебаний в (6) (благодаря тому что в поляризационном множителе $e_\alpha(\mathbf{p}-\mathbf{p}')$ в (7) разность $\mathbf{p}-\mathbf{p}'$ не сводится к \mathbf{q} , а равна $\mathbf{q}+\mathbf{Q}$) присутствуют как продольные, так и поперечные ветви.³ Таким образом, поперечно-поляризованные фононы могут давать вклад в U -процессы. Основное взаимодействие носителей, однако, происходит с продольными фононами, так как поляризационный множитель пропорционален $\sin \theta$ для поперечно-поляризованных ветвей. В принятом же приближении ($\cos \theta \approx 1$) вклад поперечных фононов в рассеяние носителей в первом порядке по параметру разложения обращается в нуль.

Тогда в результате подстановки в (6) выражений (7) и (11) имеем для рассеяния носителей на продольных акустических фононах

$$\tau_U^{-1}(p) = \frac{3mq_m^3}{4\pi^3\rho u_l} \frac{1}{p} \sum_{n=1}^{n_m} \frac{1}{n^2} \mathcal{K}_n^2 \int dy \{2N(2q_my) + 1\} \frac{y \sin^2 \pi y}{|y-n|}, \quad (12)$$

где n_m определено в (6), u_l — скорость продольных упругих волн и учтено, что в схеме приведенных зон для фононов в предположении $\cos \theta \approx 1$

$$\omega_l(x) = u_l |x - Q|.$$

В приближениях низких ($u_l q_m \sim T_D \gg T$) и высоких ($T_D \ll T$) температур решетки получаем из (12)

$$\tau_{U,0}^{-1}(p) = \frac{3mq_m^3}{4\pi^3\rho u_l} \frac{1}{p} \sum_{n=1}^{n_m} \frac{1}{n^2} \mathcal{K}_n^2 U_0 \left[n, \min\left(n + \frac{1}{2}, \frac{p}{q_m}\right) \right], \quad (13)$$

$$\tau_{U,T}^{-1}(p) = \frac{3mq_m^2 T}{4\pi^3\rho u_l^2} \frac{1}{p} \sum_{n=1}^{n_m} \frac{1}{n^2} \mathcal{K}_n^2 U_T \left[n, \min\left(n + \frac{1}{2}, \frac{p}{q_m}\right) \right], \quad (14)$$

где введены функции

$$U_0(n, z) \equiv \int_{n-\frac{1}{2}}^z dy \frac{y}{|y-n|} \sin^2 \pi y, \quad (15)$$

³ Если, конечно, разделение ветвей колебаний на поперечно- и продольно-поляризованные сохраняет силу во всей области $0 \leq q \leq q_m$.

$$U_T(n, z) \equiv \int_{n-\frac{1}{2}}^z dy \frac{y}{|y-n|^2} \sin^2 \pi y, \quad (16)$$

T_D — температура Дебая, а индексы « O » и « T » обозначают принадлежность величин рассматриваемым приближениям соответственно.

Интегралы (15) и (16) приводятся к виду [11]

$$U_O(n, z) = \frac{1}{2} \left\{ |z-n| - \frac{1}{2} - \frac{\sin 2\pi |z-n|}{2\pi} + n \operatorname{Cin}(\pi) + \right. \\ \left. + n \operatorname{sign}(z-n) \operatorname{Cin} 2\pi(n-z) \right\},$$

$$U_T(n, z) = \pi n \left[\operatorname{Si} 2\pi(z-n) + \left\{ \operatorname{Si}(\pi) - \frac{2}{\pi} - \frac{\sin^2 \pi(z-n)}{\pi(z-n)} \right\} + \right. \\ \left. + \frac{1}{2} \{ \operatorname{Cin} 2\pi(z-n) - \operatorname{Cin}(\pi) \}, \right.$$

где $\operatorname{Si}(x)$ — интегральный синус, а $\operatorname{Cin}(x)$ — целая четная функция, определяемая равенством

$$\operatorname{Cin}(x) \equiv \int_0^x \frac{1 - \cos t}{t} dt.$$

Полученные выражения громоздки и можно чаще всего воспользоваться их следующей аппроксимацией

$$U_O(n, z) \approx \frac{1}{2} \begin{cases} (2z - 2n + 1)(2n - 1), & n - 1/2 \leq z \leq n, \\ (2n - 1) + 2(z - n)(2n + 1), & n \leq z \leq n + 1/2, \end{cases}$$

$$U_T(n, z) \approx \begin{cases} 2(4n - 1)(z - n + 1/2), & n - 1/2 \leq z \leq n, \\ (4n - 1) + 2(4n + 1)(z - n), & n \leq z \leq n + 1/2. \end{cases}$$

Из сравнения, например, точных значений

$$U_O\left(n, n + \frac{1}{2}\right) = n \operatorname{Cin}(\pi) \approx 1.65n, \quad U_T\left(n, n + \frac{1}{2}\right) = 2\pi n \left[\operatorname{Si}(\pi) - \frac{2}{\pi} \right] \approx 7.618n$$

с соответствующими значениями, которые дают приближенные формулы ($2n$ и $8n$), видна разумная степень аппроксимации.

Здесь можно уже прямо вычислить асимптотику поведения $\tau_Y^{-1}(p)$ при $p \gg q_m/2$. Поскольку $U(n, n + 1/2) \sim n$, зависимость $\tau_Y^{-1}(p)$ будет определяться сомножителями

$$\frac{1}{p} \sum_{n=1}^{n_m} \frac{1}{n},$$

для которых при $p \gg q_m/2$ имеем

$$\frac{1}{p} \sum_{n=1}^{n_m} \frac{1}{n} \sim \frac{\ln p}{p} \sim \frac{1}{p}.$$

Частота столкновений носителей с акустическими фононами за счет нормальных процессов τ_N^{-1} (3) вычисляется стандартными методами с учетом (7). Наличие интерференционного множителя (9) в (7) приводит в тех же приближениях низких и высоких температур к выражениям ($\mathcal{H}_1 \sim \mathcal{E}_1$)

$$\tau_{N,O}^{-1}(p) = \frac{2mq_m^3 \mathcal{E}_1^2}{\pi^3 \rho u_l} \frac{1}{p} N_0 \left[\min\left(\frac{1}{2}, \frac{p}{q_m}\right) \right], \quad (17)$$

$$\tau_{N,T}^{-1}(p) = \frac{2mq_m^2 T \mathcal{E}_1^2}{\pi^3 \rho u_l^2} \frac{1}{p} N_T \left[\min\left(\frac{1}{2}, \frac{p}{q_m}\right) \right], \quad (18)$$

$$N_0(z) \equiv 9 \int_0^z dy \frac{(\sin \pi y - \pi y \cos \pi y)^2}{(\pi y)^4},$$

$$N_T(z) \equiv 9 \int_0^z \frac{dy}{y} \frac{(\sin \pi y - \pi y \cos \pi y)^2}{(\pi y)^4} \quad (19)$$

и принято $r_0 \approx a/2$, т. е. $r_0 = \pi/2q_m$.

Условия применимости приближений низких и высоких температур здесь прежние, если $p \geq q_m/2$. В случае же $p \leq q_m/2$ они принимают вид

$$T \ll 2u_1 \sqrt{2m\epsilon}, \quad T \geq 2u_1 \sqrt{2m\epsilon}.$$

Выполняя в (19) интегрирование, получаем

$$N_0\left(\frac{z}{\pi}\right) = \frac{3}{\pi} \left[\text{Si}(2z) - 2 \frac{\sin^2 z}{z} - \frac{1}{9} z^3 J^2(z/r_0) \right],$$

$$N_T\left(\frac{z}{\pi}\right) = \frac{9}{4} \left[1 - \left(\frac{\sin z}{z}\right)^2 - \frac{1}{9} z^2 J^2(z/r_0) \right], \quad (20)$$

где $J(x)$ определено в (9) и связано с функцией Бесселя $J_{3/2}(x)$ соотношением

$$J(z/r_0) = \frac{3\sqrt{\pi}}{z^{3/2}\sqrt{2}} J_{3/2}(z).$$

В предельном случае малых передач импульса (т. е. при $p \ll q_m/2$) $z = p/q_m \ll 1$, $J(z/r_0) \approx 1 - z^2/10$

$$N_0\left(\frac{z}{\pi}\right) \approx \frac{1}{3\pi} z^3 + O(z^5), \quad N_T\left(\frac{z}{\pi}\right) \approx \frac{1}{2} z^2 + O(z^4)$$

и из (17) и (18) следуют широко используемые выражения (см., например, [12]), которые получают обычно из (3) без учета интерференционного множителя. К сожалению, именно эти выражения использовались и продолжают использоваться в случаях, когда заведомо $p > q_m/2$.

Величины τ_N^{-1} , τ_U^{-1} и их сумма τ^{-1} представлены как функции p/q_m на рисунке, а в случае низких температур, а на рисунке, б — в случае высоких температур решетки. Из приведенных на рисунке данных прежде всего видно, насколько необоснована экстраполяция функциональной зависимости $\tau^{-1}(p)$, справедливой в области $p \ll q_m/2$ на всю область изменения аргумента p . Далее подтверждается общий вывод, сделанный в заключительной части раздела 1 относительно наличия у функции $\tau_U^{-1}(p)$, а с ней и у $\tau^{-1}(p)$ особенностей (изломов) в точках $p = (n-1/2)q_m$. Каждый излом при этом связан с открытием нового канала рассеяния носителей с перебросом на $Q = 2q_m n$. Наиболее ясно виден излом при $p = q_m/2$. С ростом p особенности становятся трудноразличимыми в масштабах рисунка. Их наличие, однако, можно проверить прямым дифференцированием (12). Наконец, замечаем, что асимптотика $\tau^{-1}(p)$ хорошо укладывается в закон p^{-1} .

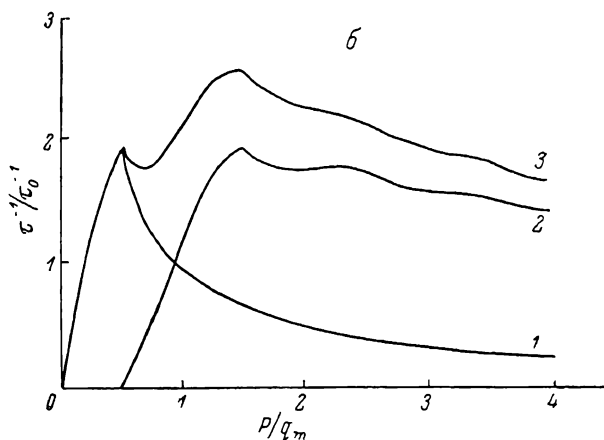
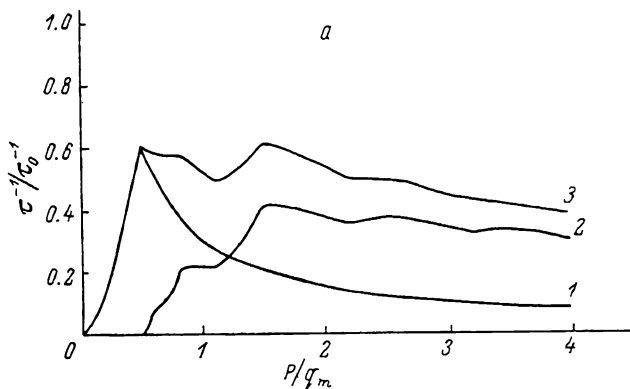
Остановимся в заключение на конкретной области энергий, которая представляет интерес в задаче о возбуждении горячих носителей в диэлектрике (например, лазерным импульсом). Поскольку вероятность ударной ионизации валентной зоны носителем с энергией $\epsilon \geq \mathcal{E}_g$ составляет $\sim 10^{15} \text{ с}^{-1}$ [13], можно считать, что любой носитель, разогретый до такой энергии, мгновенно ионизует валентную зону. В результате вместо одного носителя с $\epsilon \sim \mathcal{E}_g$ имеем два носителя с $\epsilon \sim 0$. Таким образом, разогрев носителей эффективно ограничен областью энергий $0 \leq \epsilon \leq \mathcal{E}_g$.

Чтобы охватить эту область энергий, достаточно ограничиться рассмотрением квазиимпульсов $p < 3q_m/2$. Действительно, при квадратичном

законе дисперсии квазимульсам $p < 3q_m/2$ соответствует область энергий $\epsilon < 9q_m^2/8m$, что для кристаллов с $a \sim 2 \text{ \AA}$ дает $\epsilon < 18 \text{ эВ}$. Для кристаллов с большей постоянной решетки a эта область сужается (при $a \sim 4 \text{ \AA}$ имеем $\epsilon < 4.5 \text{ эВ}$). Поскольку, однако, приближенно выполняется соотношение $\epsilon_g \sim a^{-1}$ [14] и для типичных диэлектрических кристаллов с $a \sim 2 \text{ \AA}$ $\epsilon_g \sim 6 \div 9 \text{ эВ}$ [15], всегда можно считать с запасом выполненным неравенство

$$\epsilon_g < \epsilon \left(p = \frac{3}{2} q_m \right).$$

Сумма по n в (6) сводится тогда только к первому члену с $n=1$, что соответствует возможности процессов переброса только на $Q=2q_m$. При



Величины τ_N^{-1}/τ_0^{-1} (1), τ_V^{-1}/τ_0^{-1} (2) и τ^{-1}/τ_0^{-1} (3) в зависимости от p/q_m для случая низких (а) и высоких (б) температур решетки.

$\tau_0^{-1} = 2mq_m^2 \epsilon_1^2 / \pi^3 \nu_i$ — для случая низких температур и $\tau_0^{-1} = 2mq_m T \epsilon_1^2 / \pi^3 \nu_i^2$ — в случае высоких температур решетки.

этом рассеяние с участием процессов переброса становится возможным при $\epsilon \geq q_m^2/8m$, что составляет 2 эВ при $a \sim 2 \text{ \AA}$ и 0.5 эВ при $a \sim 4 \text{ \AA}$, тогда как энергетическая ширина первой зоны Бриллюэна $\epsilon_{BZ} = \epsilon(q_m)$ соответственно ~ 8 и 2 эВ.

Задача о разогреве носителей принципиально ограничивается тем самым первой зоной Бриллюэна и частью второй зоны.

В этой области принято нами приближение малости угла между векторами q и $q+Q$ выполняется с наименьшей точностью (параметр разложения $1 - \sqrt{1 - q_m^2/Q^2} \sim 0.13$). Именно в этой области должны быть наиболее заметны анизотропия рассеяния и вклад в рассеяние носителей по-

перечно-поляризованных колебаний решетки, следующие из принятого приближения. Точное же выражение для $\tau^{-1}(\rho)$ описывается совокупностью эллиптических интегралов, что делает целесообразным поиск точного результата только в специальных целях. Основные выводы работы, касающиеся поведения и особенностей функции $\tau^{-1}(\rho)$, не зависят, однако, от принятых приближений.

Наконец, можно высказать предположение о наличии у $\tau^{-1}(\rho)$ особенностей, подобных исследованным, в случае рассеяния носителей в сверхрешетках. Физические предпосылки для появления таких особенностей одинаковы. Действительно, если в кристалле процессы переброса — это одновременное с актом рассеяния брэгговское отражение носителей от кристаллических плоскостей, то их аналогом в сверхрешетках будет соответственно отражение от границ раздела между соседними слоями. Поскольку, однако, период сверхрешетки существенно больше постоянной решетки в кристалле, такие «сверхперебросы» в сверхрешетках должны становиться возможными при существенно меньших энергиях, чем процессы переброса в кристалле. Соответственно при меньших энергиях возможно и появление особенностей у $\tau^{-1}(\rho)$. Положением этих особенностей при этом можно управлять, приготовляя сверхрешетки нужного периода.

Авторы благодарят В. М. Аграновича и С. И. Анисимова за полезные обсуждения.

Л и т е р а т у р а

- [1] Зверев Г. М., Михайлова Т. Н., Пашков В. А., Соловьева Н. М. ЖЭТФ, 1967, т. 53, № 6, с. 1849—1857.
- [2] Бломберген Н. Квант. электр., 1974, № 4, с. 786—805.
- [3] Захаров С. И. ЖЭТФ, 1975, т. 68, № 6, с. 2167—2176.
- [4] Займан Дж. Электроны и фононы. М.: ИЛ, 1962, с. 167—199.
- [5] Голубев С. Г., Лохов Ю. Н., Фивейский Ю. Д. ЖПС, т. 31, № 3, с. 420—425.
- [6] Литвиненко А. Г., Осадчиев В. М. В сб.: Ионизирующие излучения и лазерные материалы. М.: Энергоатомиздат, 1982, с. 3—26; ДАН СССР, 1985, т. 283, № 1, с. 102—105.
- [7] Sparks M., Mills D., Warren R. et al. Phys. Rev. B, 1981, vol. 24, N 6, p. 3519—3536.
- [8] Захаров С. И., Фивейский Ю. Д. Тез. докл. V Всес. совещ. по физике взаимодействия оптического излучения с конденсированными средами. Л., 1981. с. 100.
- [9] Давыдов А. С. Теория твердого тела. М.: Наука, 1976. 226 с.
- [10] Vogl P. Phys. Rev. B, 1976, vol. 13, N 2, p. 694—704.
- [11] Градштейн И. С., Рыжик И. М. Таблицы интегралов, сумм, рядов и произведений. М.: Наука, 1971, с. 942—943.
- [12] Конуэлл Э. Кинетические свойства полупроводников в сильных электрических полях. М.: Мир, 1970. 157, 167 с.
- [13] Келдыш Л. В. ЖЭТФ, 1958, т. 37, № 3 (9), с. 713—727; Чуенков В. А. Изв. АН СССР. Сер. физ., 1958, т. 22, № 4, с. 363—376.
- [14] Харрисон У. Теория твердого тела. М.: Мир, 1972. 161, 175 с.
- [15] Таблицы физических величин / Под ред. Кикоина И. К. М.: Атомиздат, 1976, с. 341—414.

Поступило в Редакцию
13 июля 1987 г.